

Кроме временных задержек, в настоящее время, все более важными становятся критерии минимизации тепловыделения, потребления мощности, функциональной полноты СБИС. Поэтому необходимы дальнейшие исследования и разработки в области многокритериальных алгоритмов разбиения с использованием эффективных методов поиска квазиоптимальных решений.

#### БИБЛИОГРАФИЧЕСКИЙ СПИСОК

1. Афанасьев И.В., Венгер О.В., Марченко А.М. Применение кластеризации при логическом синтезе//II Всероссийская научно-техническая конференция «Проблемы разработки перспективных микроэлектронных систем - 2006»/МЭС-2006, стр. 40-44
2. Lawler, E. L., K. N. Levitt and J. Turner. "Module Clustering to Minimize Delay in Digital Networks", IEEE Transactions on Computers. Vol C-18 No. 1, 1966, p. 47-77
3. Murgai, R., R.K. Brayton and A. Songiovanni-Vincentelli. "On Clustering for Minimum Delay/Area", Proc. of the IEEE Int'l Conf. On Computer-Aided Design, Nov., 1991, p. 6-9
4. J. Cong, H. Li, and C. Wu. Simultaneous Circuit Partitioning/Clustering with Retiming for Performance Optimization, In Proc. ACM/IEEE Design Automation Conference, p. 460-465, 1999.
5. R. Aggarwal, R. Murgai, and M. Fujita. Speeding Up Technology-Independent Timing Optimization by Network Partitioning // Proc. ACM/IEEE Design Automation Conference. - Nov. 1997. - p. 83-90.
6. D. Banieres, J. Cortadella, and M. Kishinevsky. Dominatorbased Partitioning for Delay Optimization, Great Lake Symposium on VLSI, 2006.
7. S. Dey, F. Brglez, G. Kedem. Circuit Partitioning for Logic Synthesis // IEEE Journal of Solid-state Circuits. - March 1991. - V. 26. - № 3.
8. Y. Nakamura and T. Yoshimura. A Partitioning-based Logic Optimization Method for Large Scale Circuits with Boolean Matrix // Proc. ACM/IEEE Design Automation Conference, 1995.
9. G. Karypis, R. Aggrwal, V. Kumar, and S. Shekhar. Multilevel hypergraph partitioning: Application in VLSI domain // Proc. ACM/IEEE Design Automation Conference, 1997.
10. Elmore W.C. The Transient Response of Damped Linear Networks with Particular Regards to Wide-Band Amplifies // J. Appl. Phys. - 1948. - V. 19. - P. 55-63.
11. Cong J.J., Leung K.-S. Optimal Wiresizing Under Elmore Delay Model // IEEE Trans. on CAD of Integrated Systems. - 1995. - V. 14. - № 3. - P. 321-336.
12. Chen C.P., Chen Y.P., Wong D.F. Optimal Wiresizing Under Elmore Delay Model // IEEE Trans. on CAD of Integrated Systems. - 2002. - V. 21. - No. 3. - P. 319-329.

М.А. Бакало, В.В. Курейчик

#### МОДИФИЦИРОВАННЫЙ АЛГОРИТМ РАЗМЕЩЕНИЯ МЕТОДОМ ПАРНЫХ ПЕРЕСТАНОВОК\*

**Введение.** Одним из основных этапов конструкторского проектирования ЭВА является размещение элементов (модулей) на некотором коммутационном поле с оптимизацией заданных наперед критериев качества. Среди существующих алгоритмов отдельную группу составляют итерационные алгоритмы размещения, к которым и относится алгоритм парных перестановок [1-3].

Задача размещения может быть сформулирована следующим образом: дано множество элементов  $V = \{e_i \mid i = \overline{1, n}\}$ , соединенных друг с другом множеством связей  $U \subseteq V \times V$ . В качестве модели представления данных используем неори-

\* Работа выполнена при частичной финансовой поддержке программы развития научного потенциала высшей школы 2006-2008 годы (проекты РНП.2.1.2.2238, РНП 2.1.2.3193).

ентированный граф  $G(V, U)$ , при этом информация о связях записывается в матрицу смежности, которая имеет вид:  $R = \|r_{i,j}\|$ , где  $i, j = \overline{1, n}$ . Под областью размещения будем понимать множество позиций для размещения элементов, организованные в прямоугольную матрицу, имеющие одинаковые линейные размеры и характеризующиеся их координатами. При этом позиции, объединенные в строки и столбцы, имеют одинаковые X- и Y-координаты соответственно.

Необходимо построить размещение  $P = \langle p_1, p_2, \dots, p_n \rangle$  такое, что каждой позиции области размещения  $p_i$  соответствует некоторый элемент  $e_i \in V$  при этом суммарная длина связей элементов:

$$F = \sum_{i=1}^n \sum_{j=1}^n r_{i,j} \cdot d_{i,j} \rightarrow \min. \quad (1)$$

В алгоритме размещения, описанным в работе Глазера [2] упорядочивание элементов  $e_i \in V$  происходит в соответствии с убыванием и рассчитывается по формуле:

$$L_i = \sum_{j=1}^n r_{i,j} \cdot d_{i,j}, \quad (2)$$

$i = \overline{1, n}$ ,  $r_{i,j}$  – вес ребра в матрице смежности  $R = \|r_{i,j}\|$ , а  $d_{i,j}$  – длина связи элементов  $e_i$  и  $e_j$ . Получим последовательность элементов:  $E = \langle e_1, e_2, \dots, e_n \rangle$ .

Вычислительная сложность этого алгоритма размещения пропорционально  $O(n^4)$  [2,4].

### 1. Критический анализ алгоритма размещения

#### 1.1. Анализ формулы вычисления приращения суммарной длины связей.

Проанализируем формулы (1) и (2) оценки приращения суммарной длины связей размещения.

По отношению к элементам  $e_k$  и  $e_l$  все множество элементов (вершин графа) разбиваются на следующие подмножества (рис.1):  $S_k$  – множество элементов, связанных только с элементом  $e_k$ ;  $S_l$  – множество элементов, связанных только с элементом  $e_l$ ;  $S_{k,l}$  – множество элементов связанных как с элементом  $e_k$ , так и с элементом  $e_l$ ;  $S$  – множество элементов не связанных ни с элементом  $e_k$ , ни с элементом  $e_l$ .

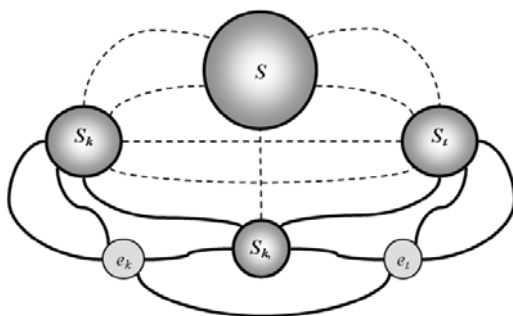


Рис.1. Подмножества элементов, выделенные относительно элементов  $e_k$  и  $e_l$

Проведем оценку величины, которую каждое из этих подмножеств вносит в суммарную длину связей всего размещения: Суммарная длина связей элемента  $e_k$  со всеми элементами подмножества  $S_k$ :  $D_k = \sum_{l \in S_k} r_{k,l} \cdot d_{k,l}$ . Суммарная длина связей элемента  $e_t$  со всеми элементами подмножества  $S_t$ :  $D_t = \sum_{l \in S_t} r_{t,l} \cdot d_{t,l}$ . Суммарная длина связей элементов  $e_k$  и  $e_t$  с подмножеством  $S_{k,t}$ :  $DD_{k,t} = DD_k + DD_t$ , где  $DD_k$  – суммарная длина связей элемента  $e_k$  с подмножеством  $S_{k,t}$ :  $DD_k = \sum_{l \in S_{k,t}} r_{k,l} \cdot d_{k,l}$ , а  $DD_t$  – суммарная длина связей элемента  $e_t$  с подмножеством  $S_{k,t}$ :  $DD_t = \sum_{l \in S_{k,t}} r_{t,l} \cdot d_{t,l}$ . Суммарная длина связей всех элементов, не смежных ни с элементом  $e_k$ , ни с элементом  $e_t$ :  $DS = \sum_{i=1}^n \sum_{\substack{j=1 \\ i \neq k, i \neq t, j \neq k, j \neq t}}^n r_{i,j} \cdot d_{i,j}$ . С учетом положений, формула (1) вычисления суммарной длины связей преобразуется к виду:

$$F = D_k + D_t + DD_{k,t} + DS. \quad (5)$$

С учетом формул (11) величину  $\Delta F_{k,t}$  можно записать в следующем виде:

$$\begin{aligned} \Delta F_{k,t} &= (D_k - D_k^*) + (D_t - D_t^*) + (DD_{k,t} - DD_{k,t}^*) + (DS_{k,t} - DS_{k,t}^*) = \\ &= (D_k - D_k^*) + (D_t - D_t^*) + (DD_k - DD_k^*) + (DD_t - DD_t^*), \end{aligned} \quad (6)$$

где  $D_k^*$ ,  $D_t^*$ ,  $DD_{k,t}^*$ ,  $DS_{k,t}^*$  – величины, рассчитанные по приведенным выше формулам после перестановки местами элементов  $e_k$  и  $e_t$ .

Очевидно, что величины  $DS$  и  $DS^*$  совпадают, поскольку они учитывают суммарную длину связей элементов, не смежных с элементами  $e_k$  и  $e_t$ , соответственно перестановка этих элементов не модифицирует указанные связи (помечены пунктирными линиями (см. рис.1)), соответственно величина  $(DS_{k,t} - DS_{k,t}^*) = 0$ .

Введя обозначение  $\Delta D_k$  для изменения суммарной длины связей элемента  $e_k$  после перестановки:  $\Delta D_k = (D_k + DD_k) - (D_k^* + DD_k^*)$ , и  $\Delta D_t$  – для изменения суммарной длины связей элемента  $e_t$  после перестановки:  $\Delta D_t = (D_t + DD_t) - (D_t^* + DD_t^*)$ , преобразуем формулу (6) к следующему виду:

$$\Delta F_{k,t} = \Delta D_k + \Delta D_t. \quad (7)$$

Таким образом, приращение суммарной длины связей размещения  $\Delta F_{k,t}$ , выступающее критерием оптимизации и рассчитываемое на шаге 4 алгоритма, сводится к приращению суммарной длины связей элементов  $e_k$  и  $e_t$  после перестановки этих элементов местами и не зависит от суммарной длины связей элементов, не участвующих в перестановке.

Следствием данного факта является существенное упрощение алгоритма. В итоге, применение формулы (7) позволяет уменьшить временную сложность 4 шага алгоритма с величины  $O(n^2)$  до  $O(n)$ .

**1.2. Анализ формулы вычисления приращения суммарной длины связей элементов  $e_k$  и  $e_t$ .** Проанализируем приращение суммарной длины связей элемента

$e_k$  при установке его в позицию элемента  $e_l$ . В дальнейших рассуждениях мы будем придерживаться следующих обозначений:  $(x_k, y_k)$  – координаты элемента  $e_k$  до перестановки;  $(x_b, y_l)$  – координаты элемента  $e_k$  после перестановки (соответствуют координатам элемента  $e_l$  до перестановки);  $(x_b, y_l)$  – координаты элемента  $e_l \in (S_k \cup S_{k,l})$ .

При проектировании ЭВА соединения между элементами схемы в большинстве случаев трассируются под прямым углом. Поэтому для оценки длины соединения элементов  $e_k$  и  $e_l$  будем использовать не Евклидово расстояние, а длину дуги Штейнера, длина ребра которого рассчитывается по формуле:

$$d_{k,l} = |x_k - x_l| + |y_k - y_l|. \tag{8}$$

С учетом формулы (8) суммарная длина связей элемента  $e_k$  будет рассчитываться по следующей формуле:

$$D_k + DD_k = \sum_{e_l \in (S_k \cup S_{k,l})} r_{k,l} \cdot (|x_k - x_l| + |y_k - y_l|). \tag{9}$$

Суммарная длина связей элемента  $e_k$  после перестановки будет рассчитываться по формуле (9) с учетом того, что новые координаты элемента  $e_k$  после перестановки совпадают с координатами элемента  $e_l$  до перестановки. Формула (9) позволяет нам уточнить формулу (6) для расчета приращения суммарной длины связей элемента  $e_k$ , связанного с перестановкой элемента из позиции с координатами  $(x_k, y_k)$  в позицию с координатами  $(x_b, y_l)$ :

$$\Delta D_k = \sum_{e_l \in (S_k \cup S_{k,l})} r_{k,l} \cdot [ (|x_k - x_l| - |x_b - x_l|) + (|y_k - y_l| - |y_b - y_l|) ]. \tag{10}$$

Подавляющее большинство итерационных алгоритмов для просмотра вершин используют линейную последовательность. Как будет доказано ниже, такой подход не является оптимальным, поскольку в ходе вычисления суммарной длины связей элемента  $e_k$  некоторые величины, оставаясь постоянными, вычисляются многократно.

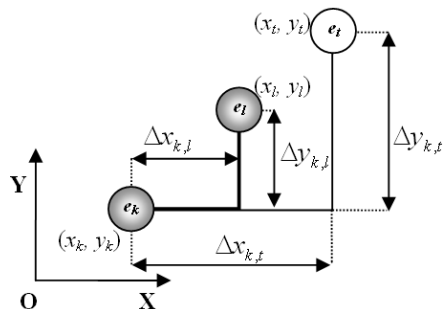


Рис.2. Расположение, координаты и длина связи элементов  $e_k$ ,  $e_l$  и  $e_l$  в области размещения

Докажем приведенное выше утверждение, при этом формула (10) будет иметь другой вид. В зависимости от взаимного расположения элементов  $e_k$  и  $e_l$  область размещения может быть разделена на девять подобластей (рис.3).

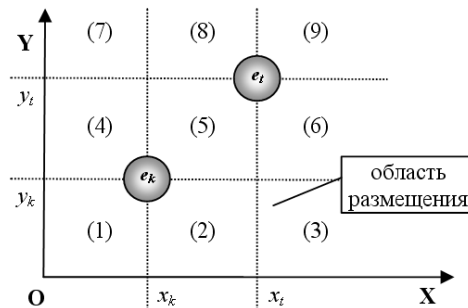


Рис.3. Разбиение области размещения на подобласти (1) – (9) в зависимости от расположения элементов  $e_k$  и  $e_l$ , соответствующего случаю (а)

Возможны четыре случая взаимного расположения элементов  $e_k$  и  $e_l$ :

- а) элемент  $e_l$  расположен в правом верхнем квадранте относительно элемента  $e_k$ ;
- б) элемент  $e_l$  расположен в левом верхнем квадранте относительно элемента  $e_k$ ;
- в) элемент  $e_l$  расположен в левом нижнем квадранте относительно элемента  $e_k$ ;
- г) элемент  $e_l$  расположен в правом нижнем квадранте относительно элемента  $e_k$ ;

Независимо от взаимного расположения элементов  $e_k$  и  $e_l$  будем придерживаться приведенного выше порядка нумерации подобластей.

Как можно видеть, X-координаты элементов  $e_k$  и  $e_l$  разбивают ось Абсцисс на три интервала, в один из которых может попадать X-координата элемента  $e_l$ . Формулы для расчета приращения длины связи элементов  $e_k$  и  $e_l$  вдоль оси абсцисс, в зависимости от взаимного положения элементов  $e_k$ ,  $e_l$  и  $e_l$  имеют вид:

Интервал	Формула приращения:
$x_l < x_k < x_l$ $x_l < x_l < x_k$	$\Delta x = (x_k - x_l) - (x_l - x_l) = (x_k - x_l)$
$x_k < x_l < x_l$	$\Delta x = -(x_k - x_l) - (x_l - x_l) = 2x_l - (x_k + x_l)$
$x_l < x_l < x_k$	$\Delta x = (x_k - x_l) + (x_l - x_l) = -2x_l + (x_k + x_l)$
$x_k < x_l < x_l$ $x_l < x_k < x_l$	$\Delta x = -(x_k - x_l) + (x_l - x_l) = -(x_k - x_l)$

Приведенные выше формулы свидетельствуют, что для всех элементов, расположенных в областях (1), (3), (4), (6), (7) и (9), величина приращения вдоль оси абсцисс не зависит от координат элемента  $e_l$ , а определяется разницей координат  $\Delta x_{k,l} = (x_k - x_l)$ , которая является постоянной для заданных  $e_k$  и  $e_l$ . Для элементов, расположенных в областях (2), (5) и (8), приращение учитывает координат элемента  $e_l$ , однако, содержит величину  $(x_k + x_l)$ , которая также остается постоянной для заданных  $e_k$  и  $e_l$ .

Аналогичные рассуждения позволяют вывести формулы для расчета приращения длины связи элементов  $e_k$  и  $e_l$  вдоль оси ординат, в зависимости от взаимного положения элементов  $e_k$ ,  $e_l$  и  $e_l$ :

<i>Интервал</i>	<i>Формула приращения:</i>
$y_l < y_k < y_t$ $y_l < y_t < y_k$	$\Delta y = (y_k - y_l) - (y_t - y_l) = (y_k - y_t)$
$y_k < y_l < y_t$	$\Delta y = -(y_k - y_l) - (y_t - y_l) = 2y_l + (y_k + y_t)$
$y_t < y_l < y_k$	$\Delta y = (y_k - y_l) + (y_t - y_l) = -2y_l + (y_k + y_t)$
$y_k < y_t < y_l$ $y_t < y_k < y_l$	$\Delta y = -(y_k - y_t) + (y_t - y_l) = -(y_k - y_l)$

Для приращения вдоль оси ординат постоянными для заданных  $e_k$  и  $e_t$  остаются величины  $(y_k - y_t)$  и  $(y_k + y_t)$ .

Логическим продолжением рассуждений, приведенных выше, является переход к использованию при вычислении приращения суммарной длины связей элемента  $e_k$  вместо одномерной последовательности элементов – двумерной последовательности. При таком подходе, вычисление частичного приращения, которое вносят элементы каждой из подобластей (1) – (9), позволит избежать многократного вычисления постоянных величин, которое неизбежно при последовательном переборе элементов. Иначе говоря, при вычислении суммарной длины связей будем перебирать не элементы  $e_i$ , а позиции области размещения. Поскольку число позиций области размещения соответствует числу элементов, и между позицией и элементов существует взаимнооднозначное соответствие, временная сложность вычисления приращения суммарной длины связей при перестановке элементов  $e_k$  и  $e_t$ , будет оцениваться величиной  $O(n)$ .

Введем следующие обозначения:  $I_{max}$  – число позиций области размещения по горизонтали;  $J_{max}$  – число позиций области размещения по вертикали;  $(i, j)$  – индексы позиции области размещения;  $p_{i,j}$  – элемент  $e_i$ , соответствующий позиции с индексами  $(i, j)$ , соответственно вес связи некоторого элемента  $e_k$  с элементом  $e_t$ , заданным позицией  $p_{i,j}$  будем обозначать как  $r_{k,l}$ ;  $(I_k, J_k)$  – индексы позиции элемента  $e_k$ ;  $(I_t, J_t)$  – индексы позиции элемента  $e_t$ , которые соответствуют позиции элемента  $e_k$  после перестановки.

В данных обозначениях мы можем выразить частичные приращение суммарной длины связей элемента  $e_k$  с элементами каждой из подобластей (1) – (9), вызванное его перестановкой в позицию элемента  $e_t$ . При этом будем иметь ввиду, что постоянные величины можно вынести из под знака суммы.  
для подобласти (1):

$$\Delta D_k^{(1)} = \sum_{i=1}^{I_k} \sum_{j=1}^{J_k} r_{k,l} \cdot ((x_k - x_t) + (y_k - y_t)) = ((x_k - x_t) + (y_k - y_t)) \cdot \sum_{i=1}^{I_k} \sum_{j=1}^{J_k} r_{k,l} \cdot (11)$$

Аналогично вычисляются частичные приращение суммарной длины связей элемента  $e_k$  с элементами каждой из других подобластей. Обобщенное выражение для расчета приращения суммарной длины связей элемента  $e_k$ , вызванное его перестановкой в позицию элемента  $e_t$  при их взаимном расположении, соответствующем случаю (a), приобретет вид:

$$\Delta D_k^{(a)} = \Delta D_k^{(1)} + \Delta D_k^{(2)} + \Delta D_k^{(3)} + \Delta D_k^{(4)} + \Delta D_k^{(5)} + \Delta D_k^{(6)} + \Delta D_k^{(7)} + \Delta D_k^{(8)} + \Delta D_k^{(9)}. (12)$$

Аналогичные рассуждения позволяют вывести формулы расчета частичного приращения суммарной длины связей с элементами каждой из подобластей (1) – (9), для взаимного расположения элементов  $e_k$  и  $e_t$ , соответствующего случаям (b), (c), (d).

**2. Описание модифицированного алгоритма.** Обратим внимание, что изменения касаются шага 4) исходного алгоритма.

- 1) Формирование начального размещения.
- 2) Упорядочивание элементов  $e_i$  в соответствии с убывание характеристики, рассчитываемой по формуле (1).  $E = \langle e_1, e_2, \dots, e_n \rangle$ .
- 3) Выбираем элемент  $e_k$ ,  $k = 1$ .
- 4) Определяем позицию  $p_k$  области размещения и индексы позиции ( $I_k$ ,  $J_k$ ) и координаты  $(x_k, y_k)$ , соответствующие элементу  $e_k$ .
- 5) Выбираем элемент  $e_t$ ,  $t = k + 1, n$ .
- 6) Определяем позицию  $p_t$  области размещения и индексы позиции ( $I_t$ ,  $J_t$ ) и координаты  $(x_t, y_t)$ , соответствующие элементу  $e_t$ .
- 7) На основании данных, полученных при выполнении шагов 4) и 6) определяем взаимное расположение элементов  $e_k$  и  $e_t$  в области размещения – случаи a), b), c) или d) и, соответственно, выбираем формулы для расчета частичного суммарной длины связей элементов  $e_k$  и  $e_t$  с элементами каждой из подобластей (1) – (9), вызванное их перестановкой.
- 8) По формуле (7) взаимного расположения элементов  $e_k$  и  $e_t$  вычисляем приращение суммарной длины связей  $\Delta F_{k,t}$ .
- 9) Выбираем следующий элемент  $e_t$ ,  $t := t + 1$ . Если  $t \leq n$ , то переходим к шагу б.
- 10) Если для элемента  $e_k$  найдено положительное приращение  $\Delta F_{k,t}$ , то производим перестановку элементов  $e_k$  и  $e_t$ , для которого такое приращение было максимально.
- 11) Выбираем следующий элемент  $e_k$  для уточнения его местоположения  $k := k + 1$ . Если  $k \leq n$ , то переходим к шагу 4.
- 12) Если не выполнено условия остановки, то переходим к шагу 3.
- 13) Например, правило остановки может быть следующим: улучшение размещения  $\Delta F$  на  $i$ -й итерации составило величину, меньшую заранее заданного значения  $\Delta F_{\text{lim}}$ :  $\Delta F = F(P_{i-1}) - F(P_i) \leq \Delta F_{\text{lim}}$ .
- 14) Конец.

Вычислительная сложность модифицированного алгоритма  $O(n^2)$ .

**3. Экспериментальные исследования.** В целях проведения объективной оценки эффективности предложенного метода оптимизации размещения, были проведены серии испытаний. Для сравнения были реализованы: алгоритм, реализующий случайное размещение; алгоритм оптимизации размещения методом парных перестановок (Глазера) и разработанный модифицированный алгоритм.

Кроме того, производилось сравнение эффективности указанных алгоритмов на областях размещения различной конфигурации.

Отображенные на графике (рис.4) результаты были получены следующим образом: генерировалось несколько графов (от 10 до 30) с одинаковым числом вершин, но различающихся числом ребер. Следует отметить, что оценка размещения, полученная после оптимизации случайного размещения, для всех использо-

ванных методов совпадает, поэтому для иллюстрации эффективности оптимизации приведем только график отношения величины приращения к величине суммарной длины связей.



Рис.4. Результаты исследования алгоритмов размещения

**Закключение.** Проведенные исследования позволили модифицировать алгоритм размещения и уменьшить его вычислительную сложность до величины  $O(n^2)$ . Предложенный подход к вычислению приращения суммарной длины связей как суммы частичных приращений, вносимых различными подобластями области размещения, также может быть применен для алгоритмов групповой перестановки, а также для оптимизации размещения в 3D-области.

#### БИБЛИОГРАФИЧЕСКИЙ СПИСОК

1. Курейчик В.М. Математическое обеспечение конструкторского и технологического проектирования с применением САПР. – М.: Радио и связь, 1990.
2. Кормен Т., Лейзерсон И., Ривест Р. Алгоритмы: построения и анализ. – М.: МЦМО, 2000.
3. Sherwani Naveed. Algorithms for VLSI Physical Design Automation, Kluwer Academic Publishers, Boston/Dordrecht/London, 1995.
4. Г Гэри М., Джонсон Д. Вычислительные машины и труднорешаемые задачи. – М.: Мир, 1982.

В.М. Глушань, Р.В. Иванько, Р.М. Романов, М.Д. Сеченов

#### ПРАВОВЫЕ АСПЕКТЫ ПОСТРОЕНИЯ И ИСПОЛЬЗОВАНИЯ РАСПРЕДЕЛЕННЫХ САПР

**Введение.** Концепция распределенных вычислительных систем (РВС) появилась около четверти века назад и базируется она на понятии процессорной группы, впервые введенного разработчиками экспериментальной распределенной операционной системы MEDUSA в 1980 году [1]. Под этим термином понимается множество процессов, взаимодействующих для согласованного решения общей задачи. Справедливости ради следует заметить, что концепция параллельных вычислений на многопроцессорных вычислительных структурах (МВС) появилась гораздо раньше, а для САПР она воплотилась в специализированные моделирующие